海岸・河川沿い道路の 空洞及び陥没の 発生・発達過程に関する研究

山口大学 大学院創成科学研究科 准教授 森 啓年

本日の話題

- ① 背景と目的
- ② 模型実験
- ③ 現地調査
- ④ まとめ

① 背景と目的

道路の陥没発生件数とその要因(令和4年度)

道路陥没は年間 | 万件以上発生

- ・半数程度が道路施設(道路排水施設等)に起因
- ・15%程度が道路占用物件(下水道等)に起因

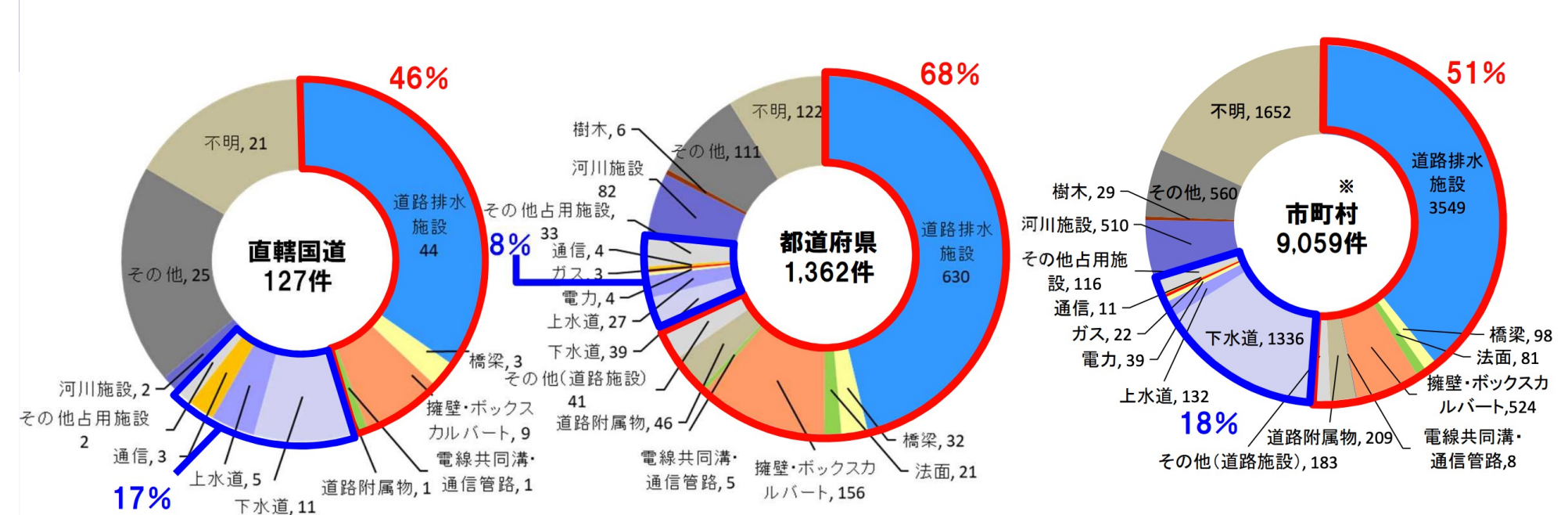


土と水の相互作用 により発生

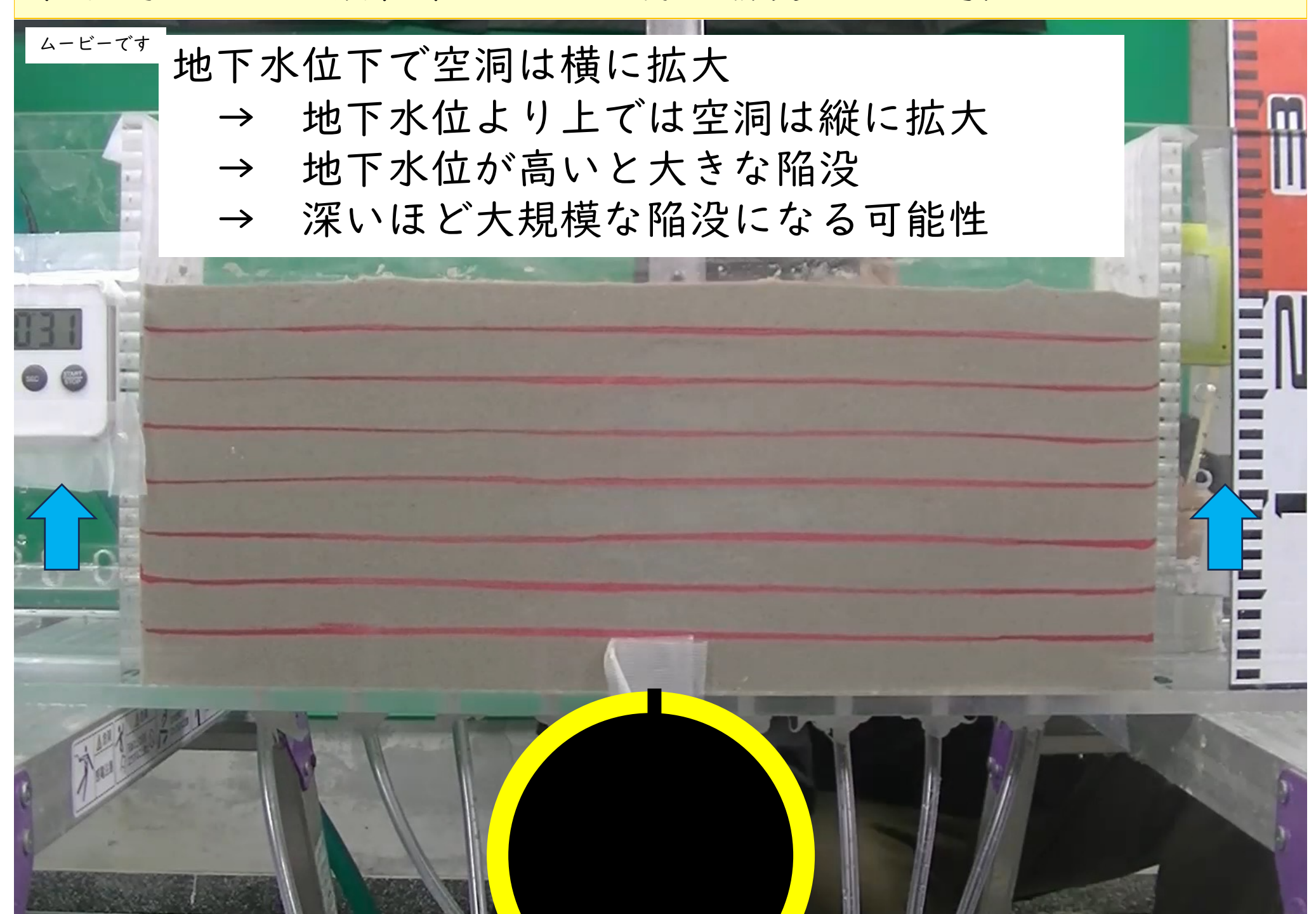
・擁壁や河川施設に起因するケースも多い

2023年3月には<u>道路土工構造物点検要領</u>の「特定土工構造物」に 「河川隣接区間として前面に並行して河川がある盛土及び擁壁」追加

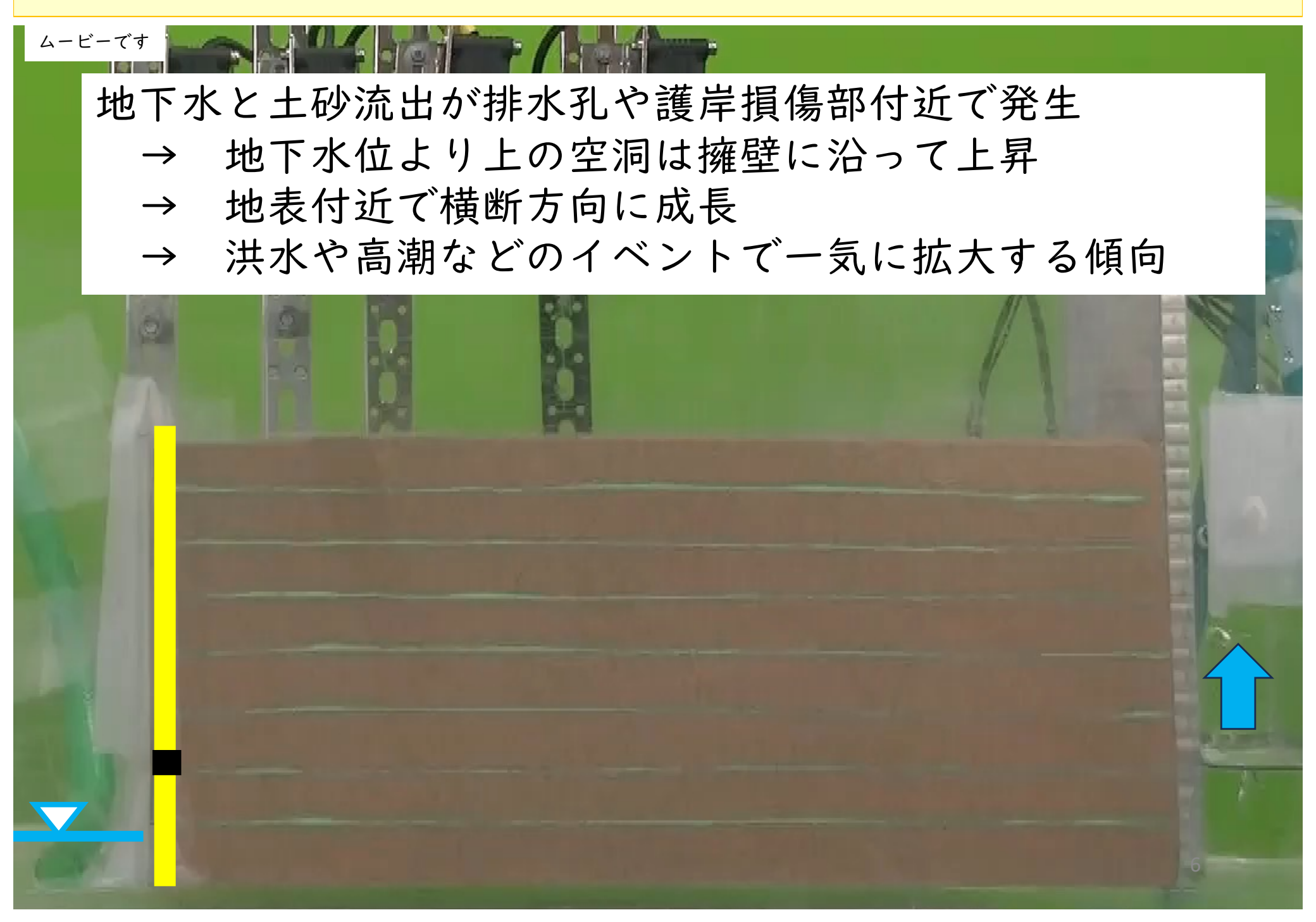
令和4年度



下水道などの埋設管渠による空洞と陥没の発生過程



護岸損傷による空洞と陥没の発生過程

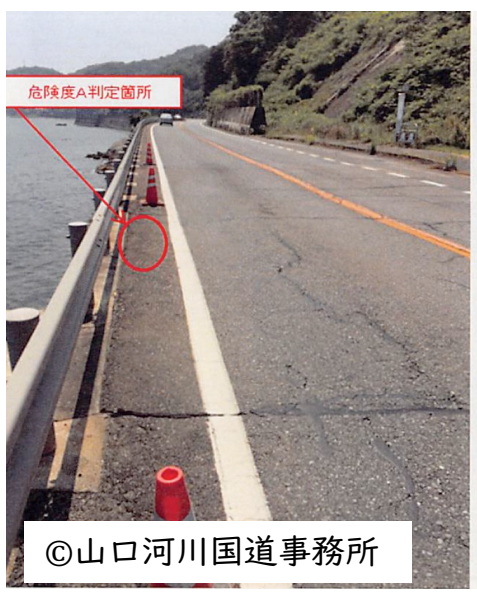


目的

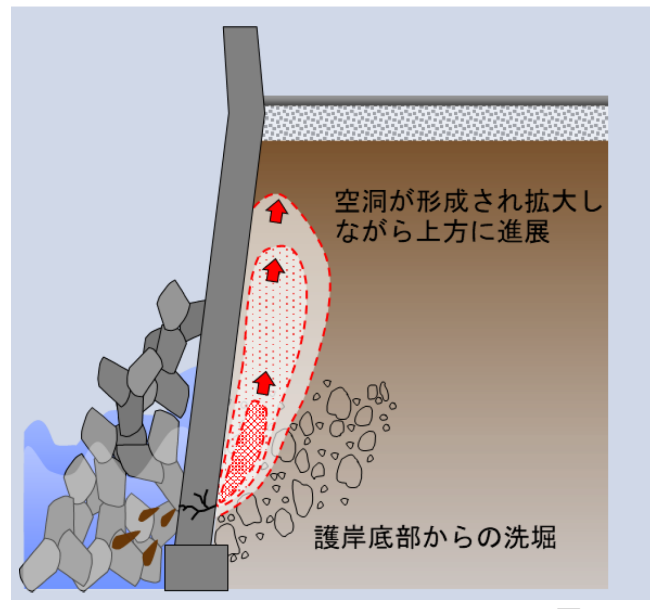
海岸・河川沿い道路における比較的深い空洞および陥没の発生・発達過程を、模型実験や現地調査によって明らかにすることを目的

- ① 護岸付近に発生する空洞に対して、盛土の土質および擁壁摩擦が与える影響を把握するための模型実験
- ② 山口県内の国道において現地調査を実施し、発見された比較的深い位置の空洞について経過観察



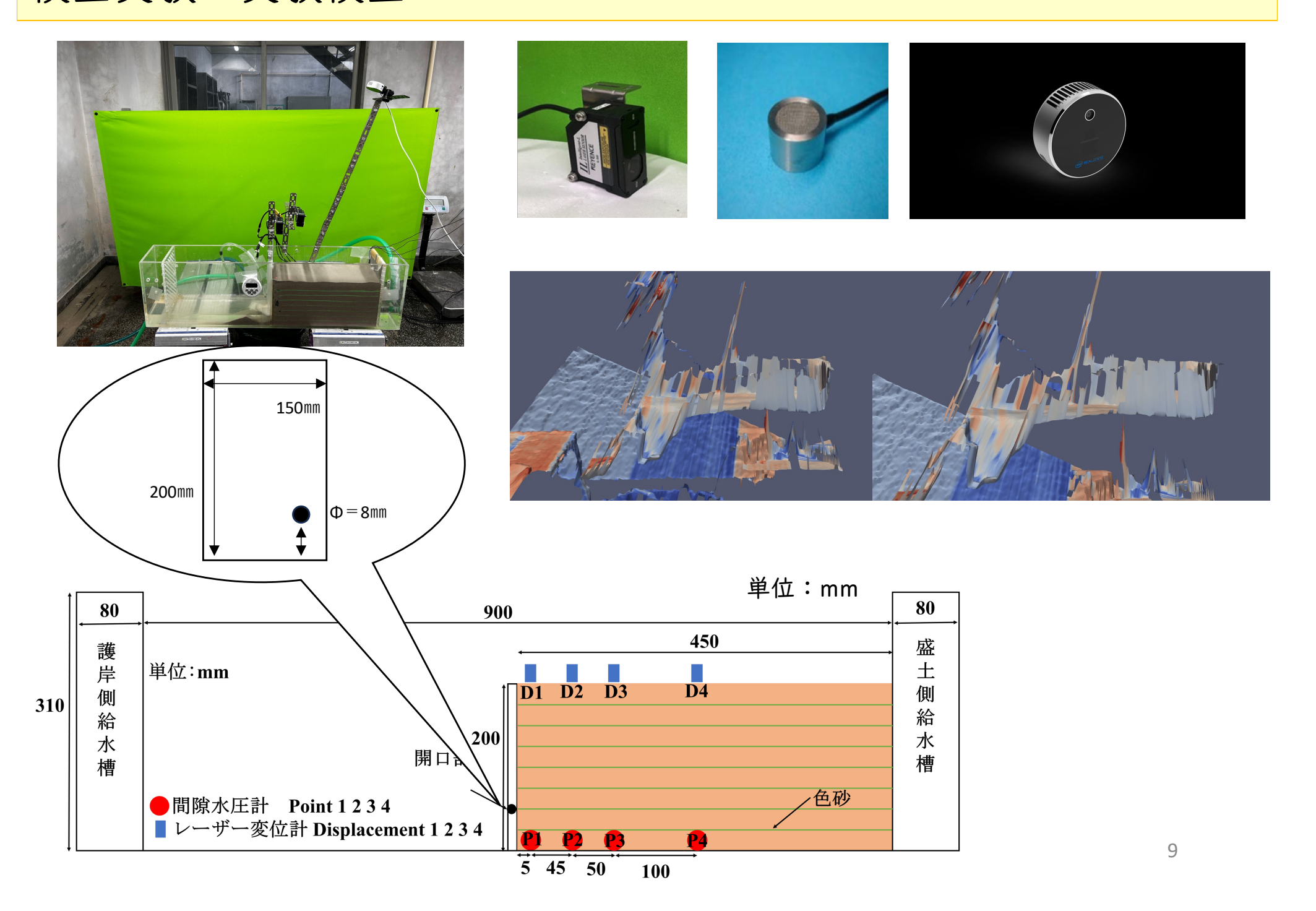




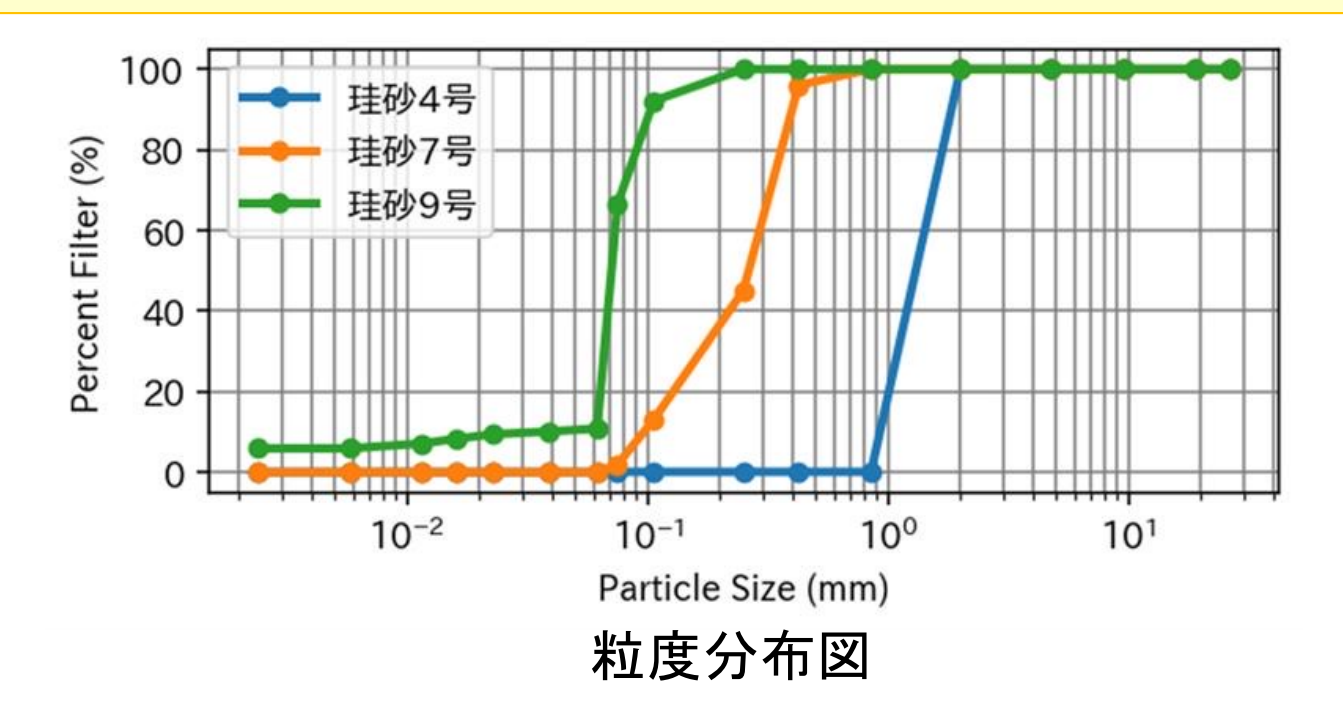


② 模型実験

模型実験:実験模型



模型実験:土質試料



土質性状

| 試料 | 透水係数 (m/s) | 最大乾燥密度 (g/mm³) | 締固め 度 (%) | 粘着力 (kN/ m ²) | 内部摩擦 角 (°) |
|------|-----------------------|-----------------------|-----------------|---------------------------------|------------------|
| 珪砂4号 | 4.04×10^{-3} | 1.42×10^{-3} | 90 | 7.5 | 34.66 |
| 珪砂7号 | 2.39×10^{-4} | 1.44×10^{-3} | 90 | 2.2 | 32.24 |
| 珪砂9号 | 4.18×10^{-5} | 1.38×10^{-3} | 90 | 0.9 | 31.75 |

模型実験:実験過程

実験開始前

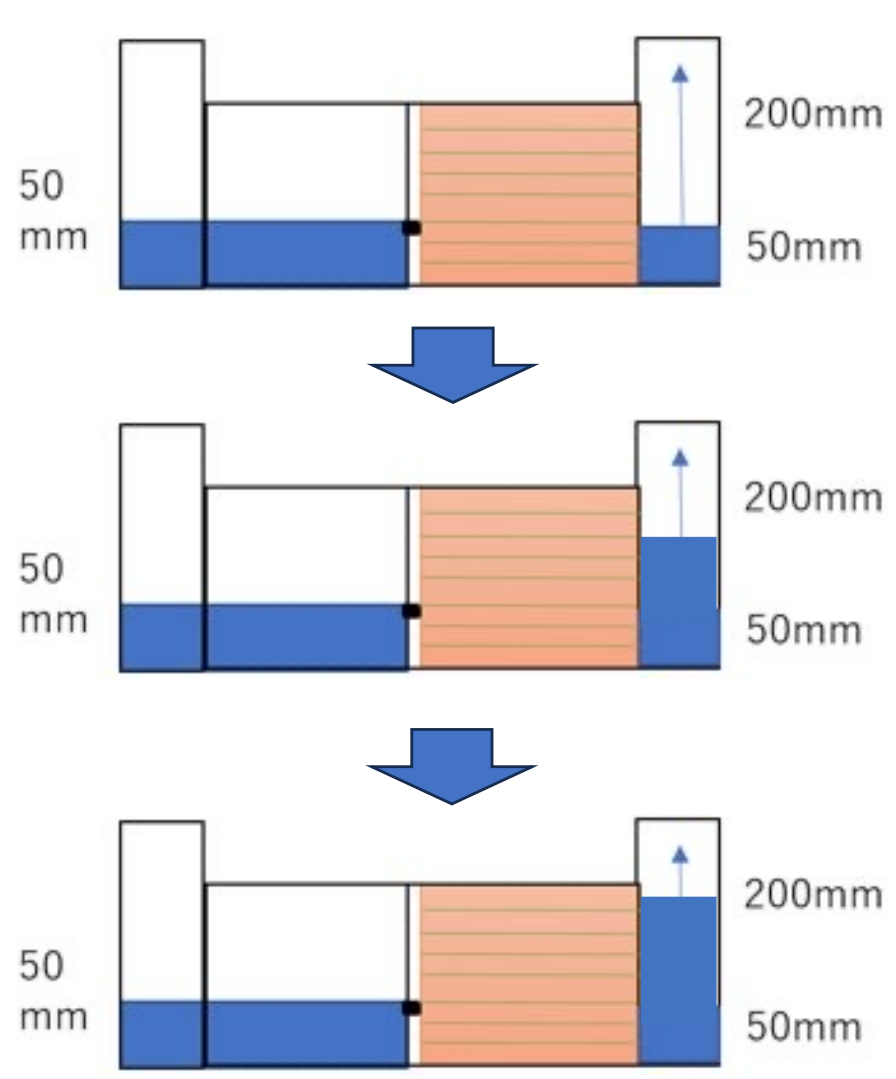
- 土槽水位を200 mmに上げ完全飽和させる
- 水位を初期水位まで下げる

実験(排水)開始

- 護岸側水位: 一定
- 盛土側水位: 10分毎に50 mm上昇

実験終了

- ①陥没が発生した時点した時点
- ②40分が経過



模型実験:実験ケース

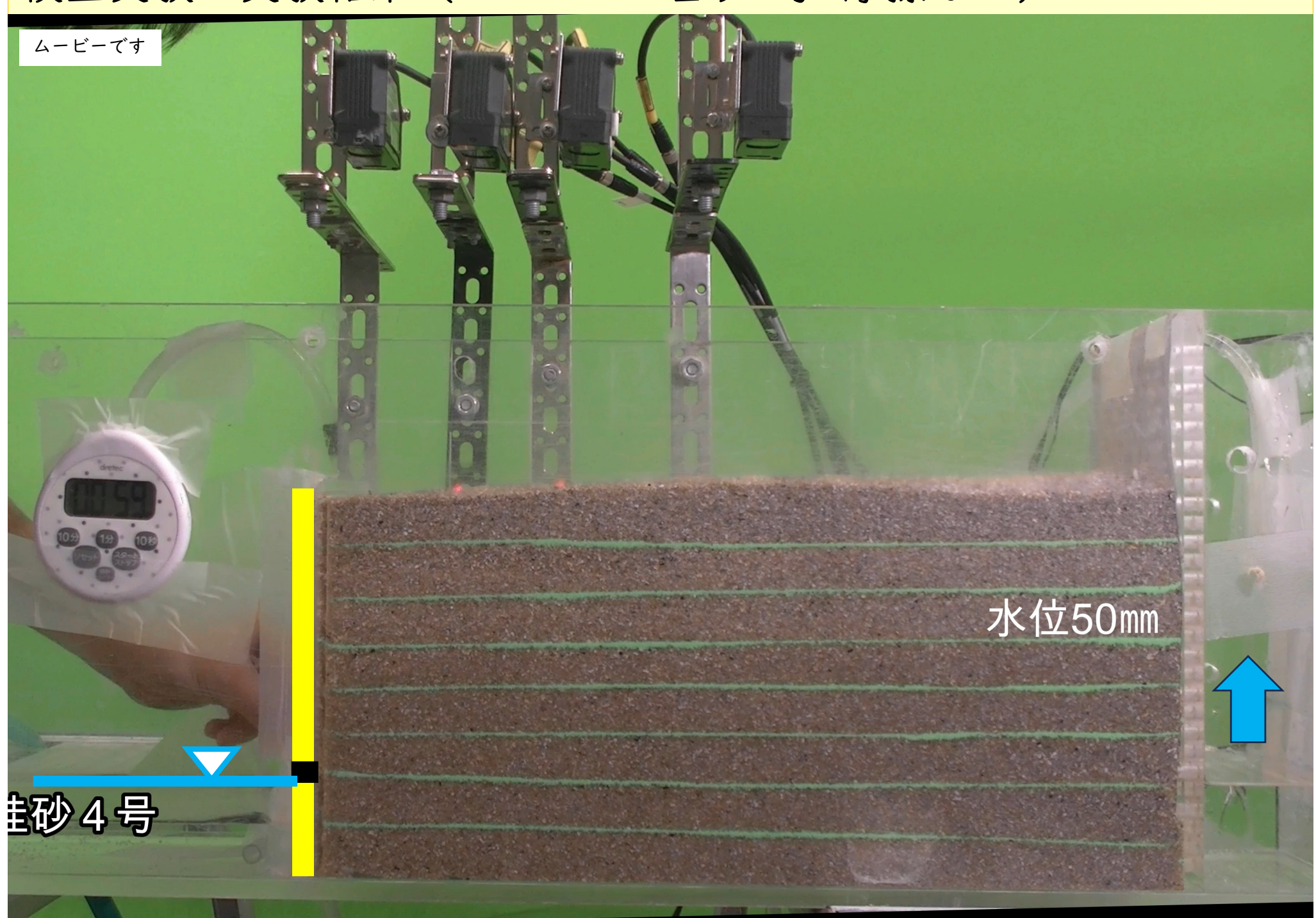
盛土の土質による影響の確認

| ケース | 試料 | 擁壁 | 開口径 | 開口部位置 |
|-----|------|------|-----|----------|
| | 珪砂4号 | アクリル | 8mm | 底部から50mm |
| 2 | 珪砂7号 | アクリル | 8mm | 底部から50mm |
| 3 | 珪砂9号 | アクリル | 8mm | 底部から50mm |

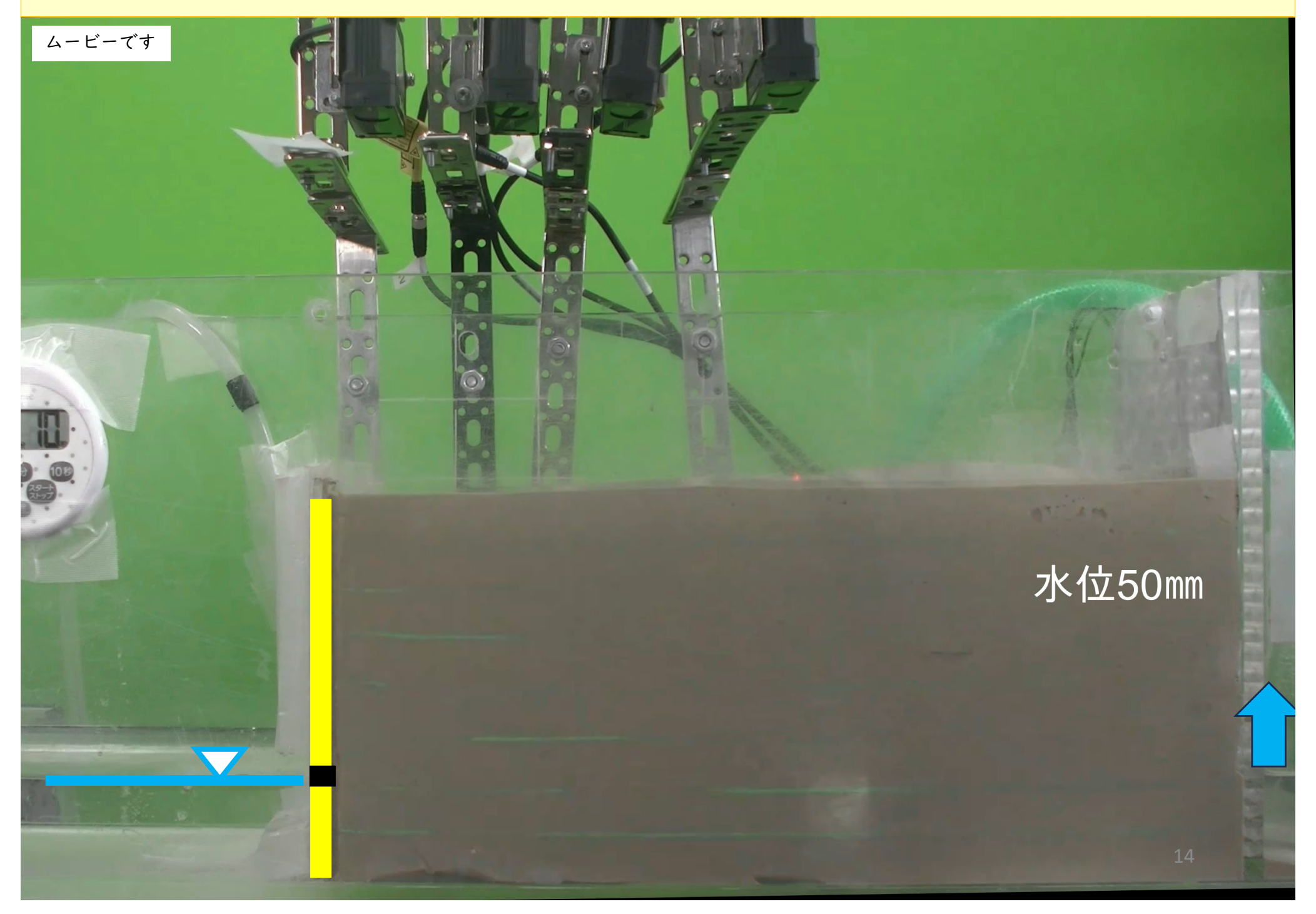
擁壁の摩擦による影響の確認

| ケース | 試料 | 擁壁 | 開口径 | 開口部位置 |
|-----|------|------------|-----|----------|
| 4 | 珪砂4号 | 耐水ペーパー | 8mm | 底部から50mm |
| 5 | 珪砂7号 | 耐水 ペーパー | 8mm | 底部から50mm |
| 6 | 珪砂9号 | 耐水ペーパー | 8mm | 底部から50mm |

模型実験:実験結果(ケース1:珪砂4号-摩擦なし)



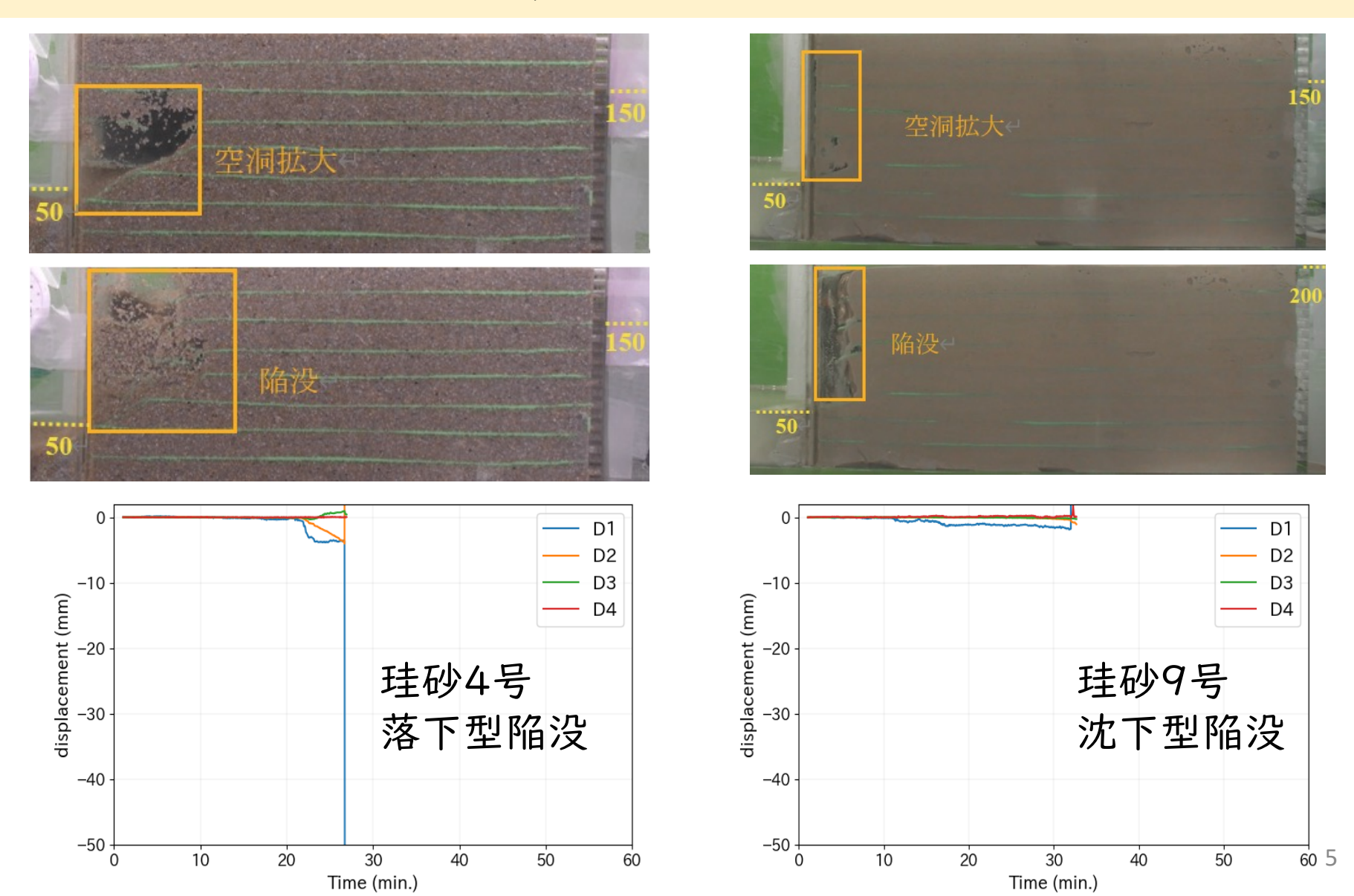
模型実験:実験結果(ケース3:珪砂9号-摩擦なし)



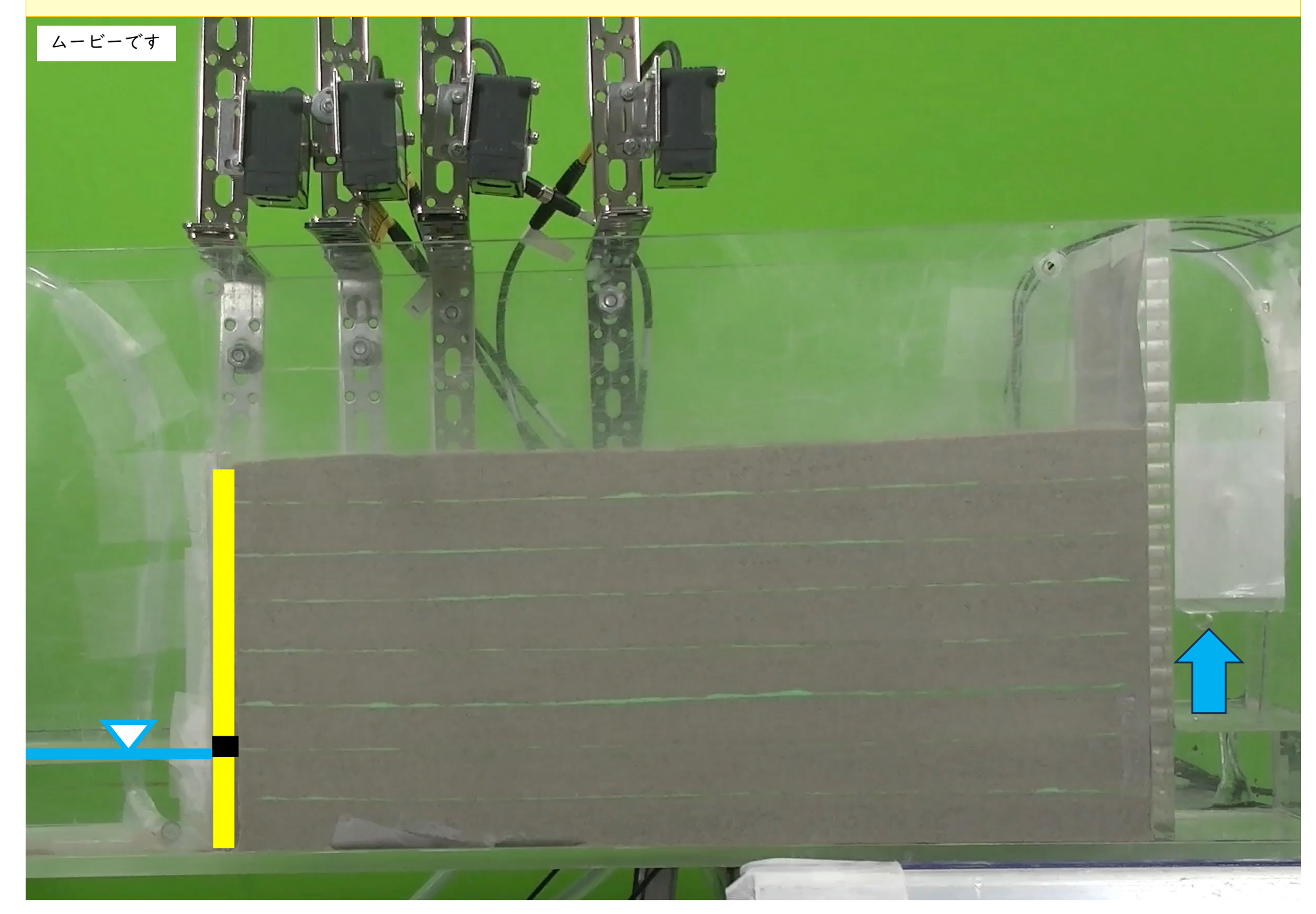
模型実験:実験結果(盛土の土質の影響)

珪砂4号・7号:空洞拡大後,短時間に陥没発生(落下型陥没)

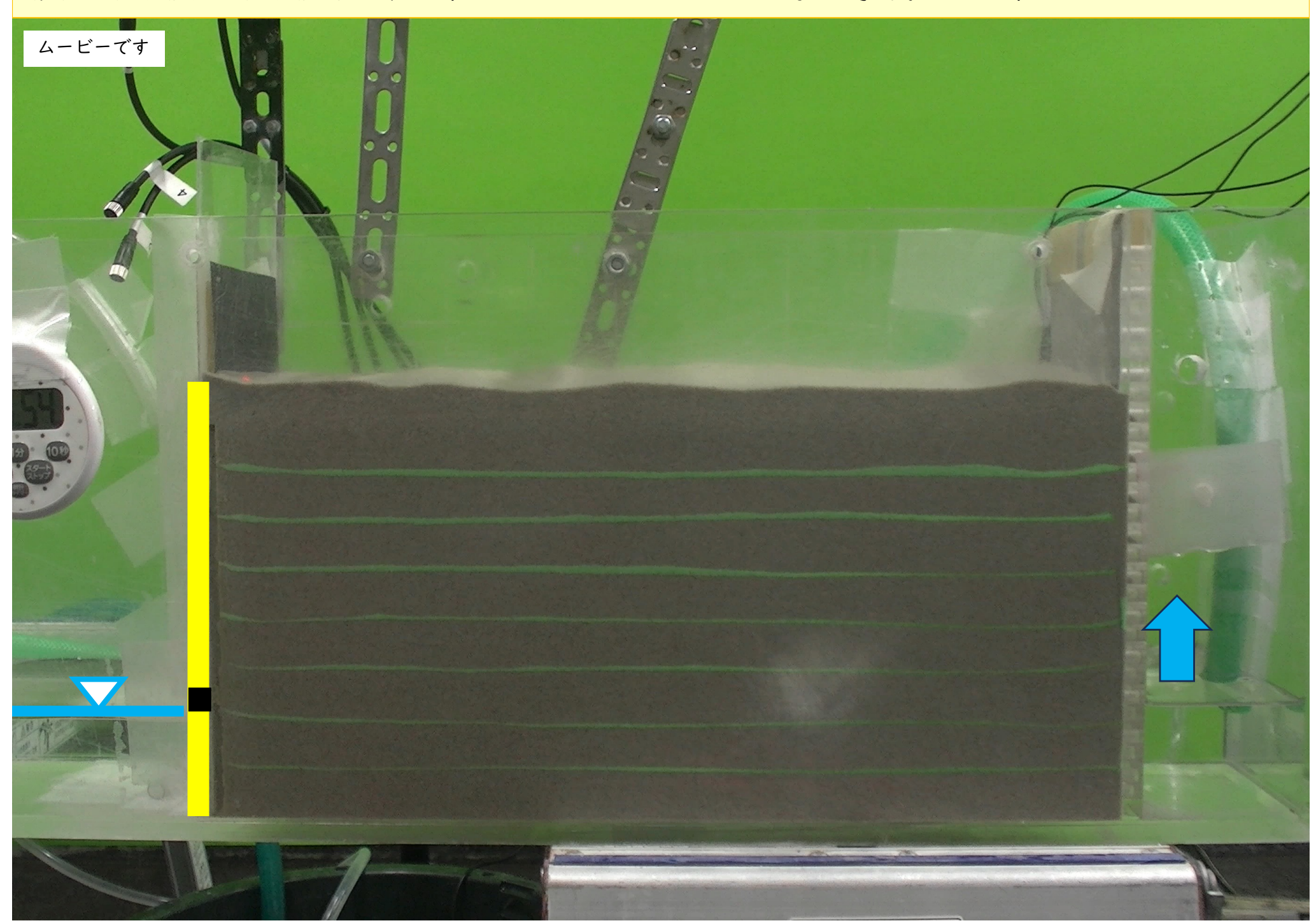
珪砂9号:空洞拡大せず,徐々に陥没発生(沈下型陥没)



模型実験:実験結果(ケース2:珪砂7号-摩擦なし)



模型実験:実験結果(ケース5:珪砂7号-摩擦あり)

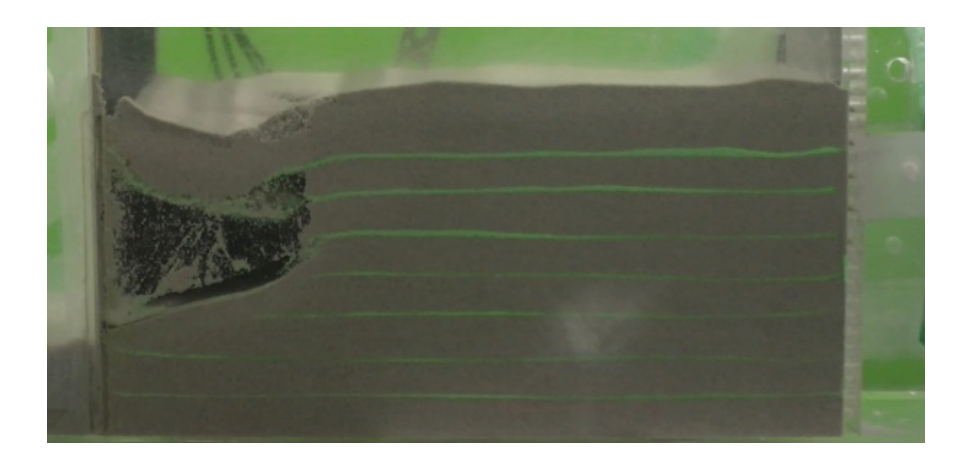


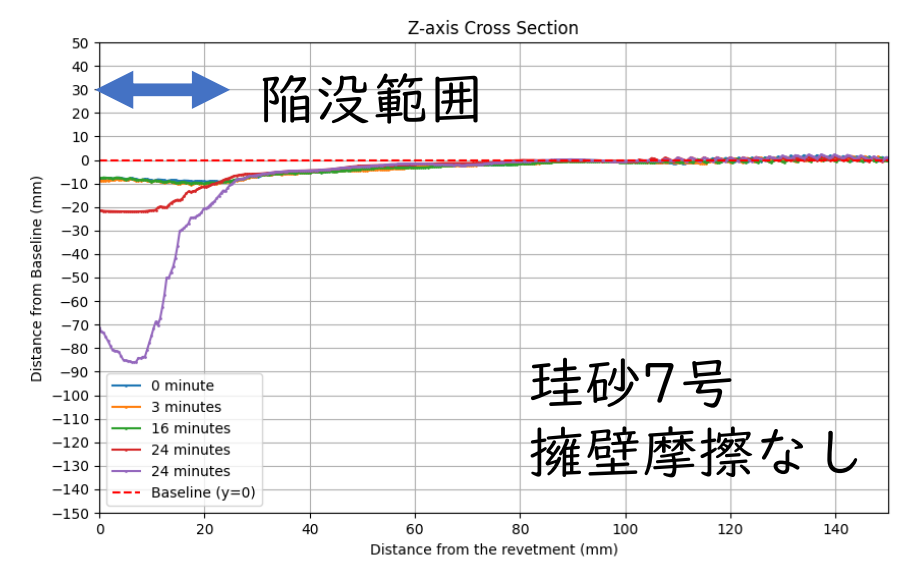
模型実験:実験結果(摩擦の影響)

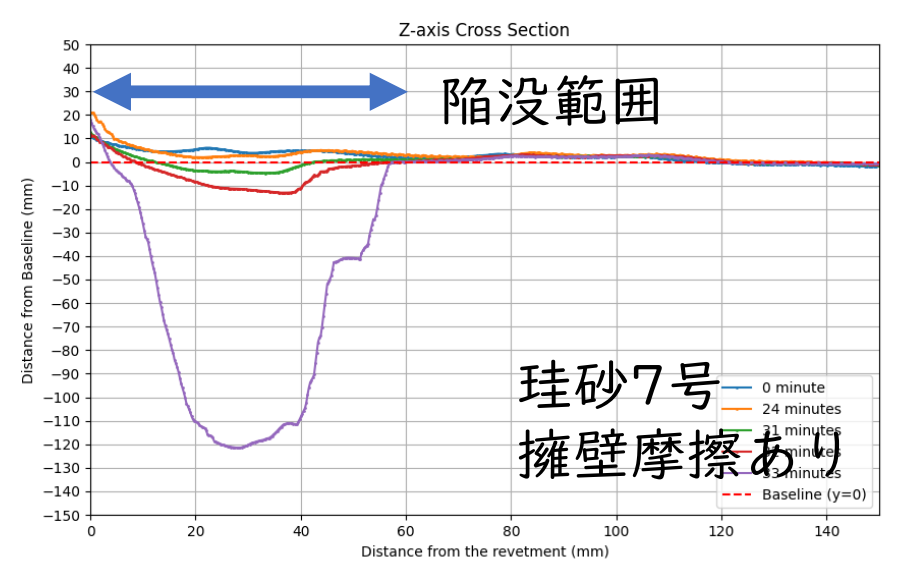
擁壁摩擦なし:空洞拡大後,限られた範囲に陥没発生

擁壁摩擦あり:空洞拡大後,広い範囲に陥没発生









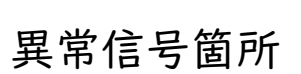
③ 現地調査

レーダー調査で空洞を事前把握し, 埋め戻しで対応

従来のレーダー探査技術の<u>適用最大深度は1.5m</u>. 護岸付近の深い空洞を早期に探知するため,<u>適用最大深度が</u>3.0mまでのレーダー探査技術を新たに開発







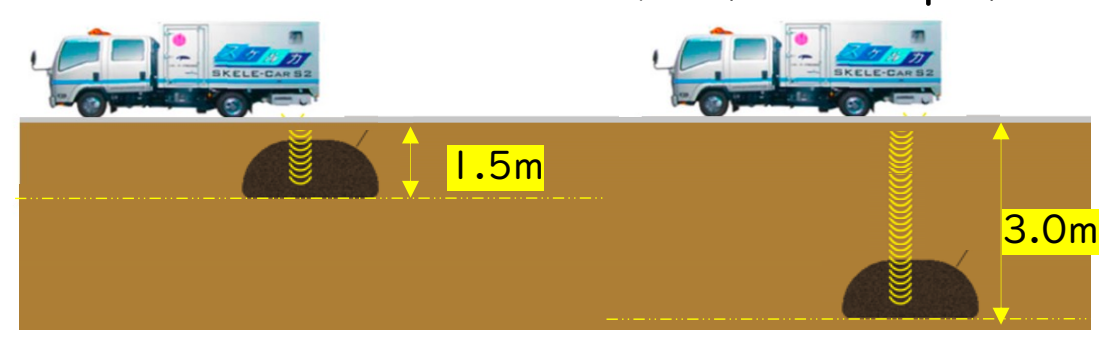


| 種類 | 類 |
|----|---|
|----|---|

ハ潮市道路陥没の 周辺調査でも使用

従来型 (スケルカD)

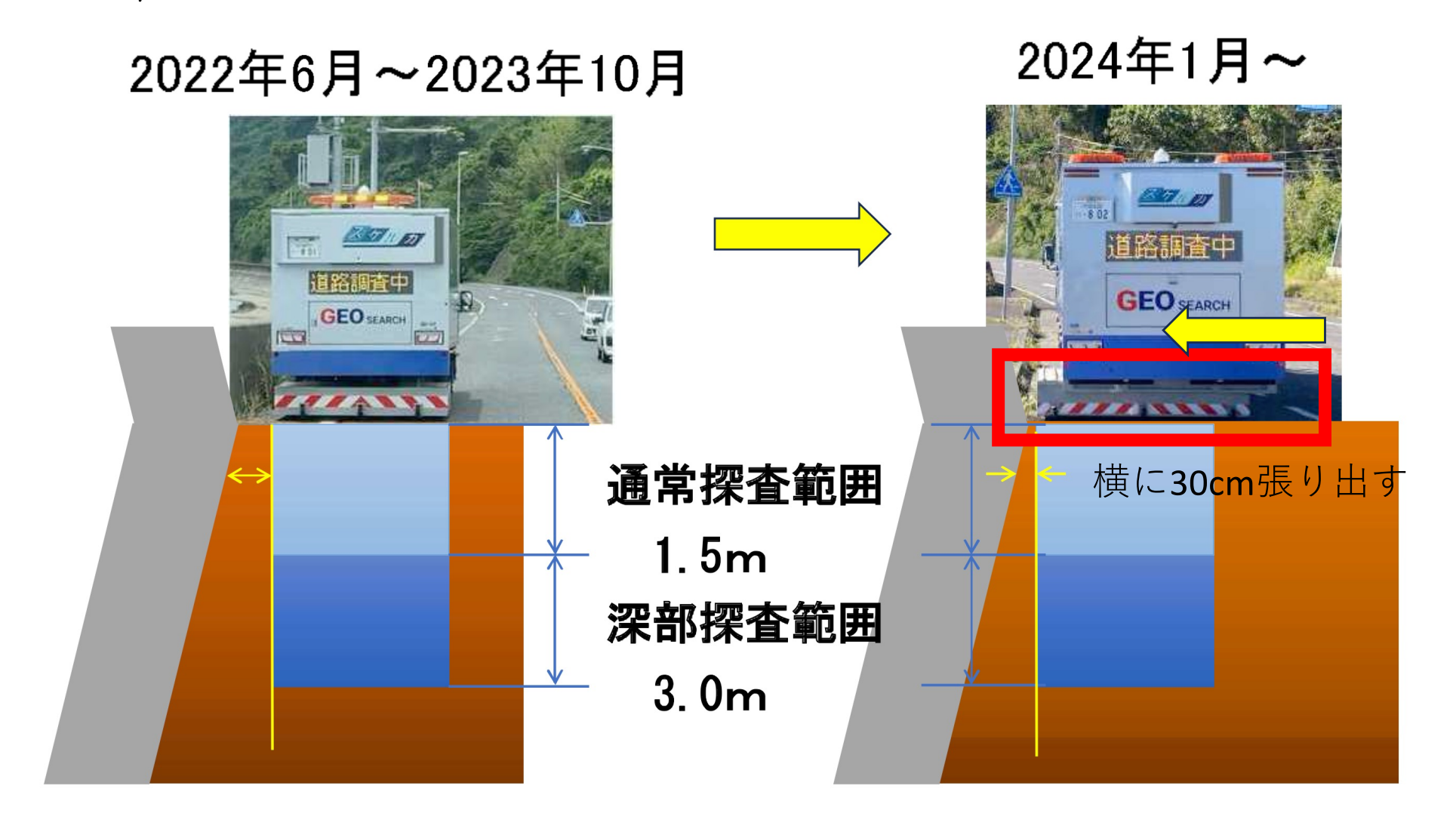
深部型(スケルカDper)



| 空洞探査車 | 従来型 スケルカD | 深部型 スケルカ Dper |
|---------------------------------|-------------------|---------------------|
| 探査深度 | 1.5m | 3.0m |
| 探査幅 | 2.5m | 2.0m |
| 最小検知 空洞規模 (広がり縦×横 ×厚さ) | 0.5×0.5m ×0.1m | 1.0×1.0m ×0.3m |

空洞探査車のさらなる改良

2~3回/年(梅雨前,台風期後,豪雨後) 空洞探査車を走行させ,経過観察



<計測範囲をより護岸側へ>

レーダー調査で異常が見つかった例



動画です 22

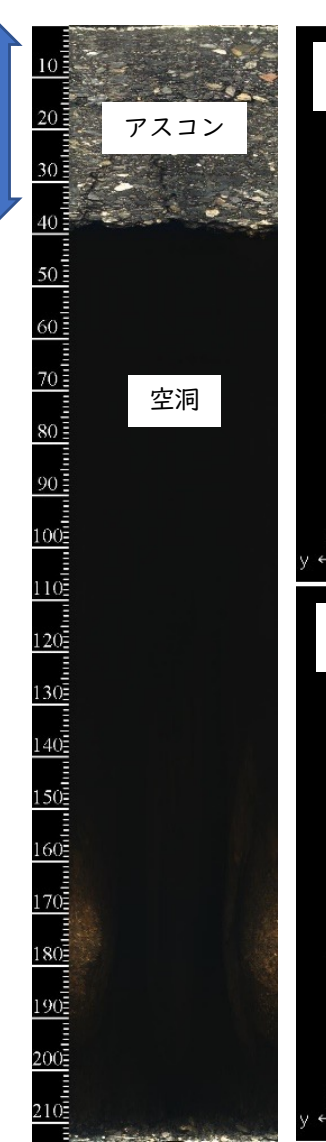
レーダー調査で異常が見つかった例①

護岸に沿って空洞が発達, アスコン下に空洞が拡大

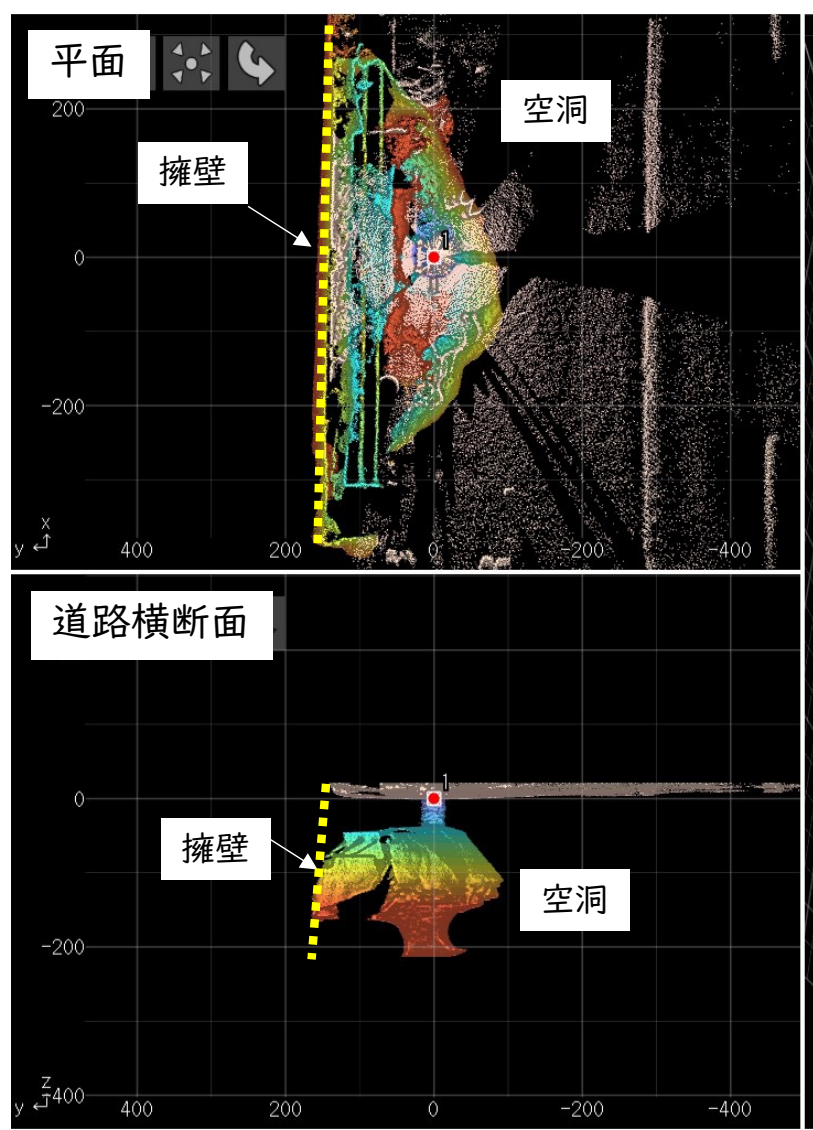
ランクB, 発生深度: 0.38m, 空洞厚: 1.74m

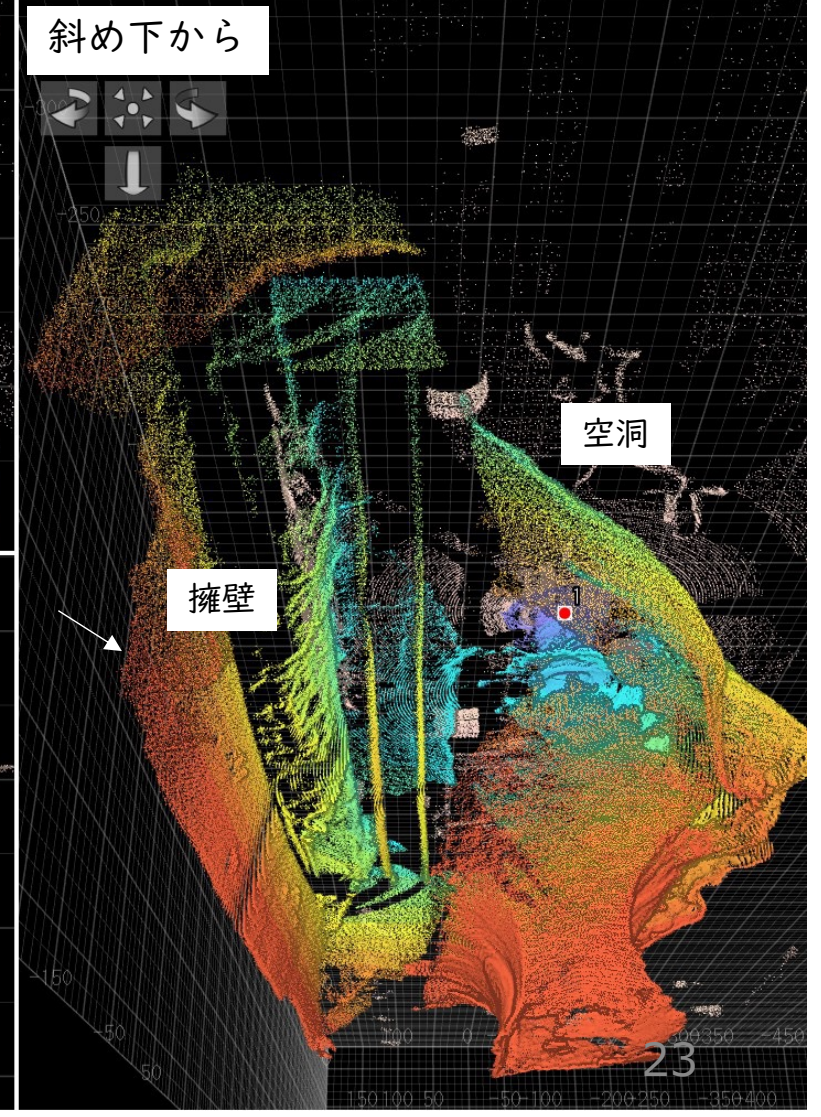
概略広がり:縦断4.5m×横断1.6m

即日埋戻し復旧完了



38m



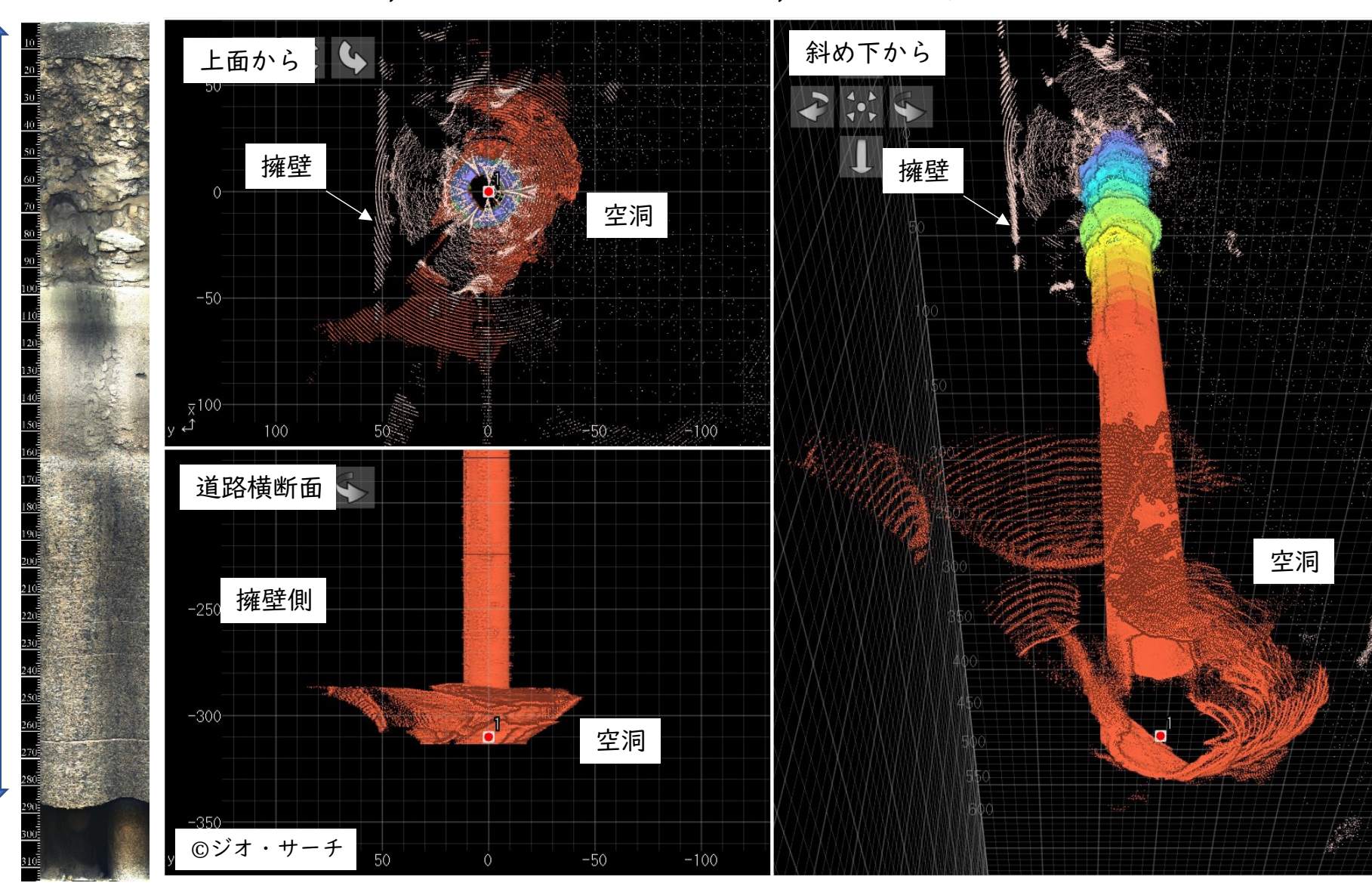


レーダー調査で異常が見つかった例②

2.85m

深い位置から護岸に沿って空洞が発達. 花崗岩下に空洞が拡大

ランク判定外, 発生深度:2.85m, 空洞厚:0.30m

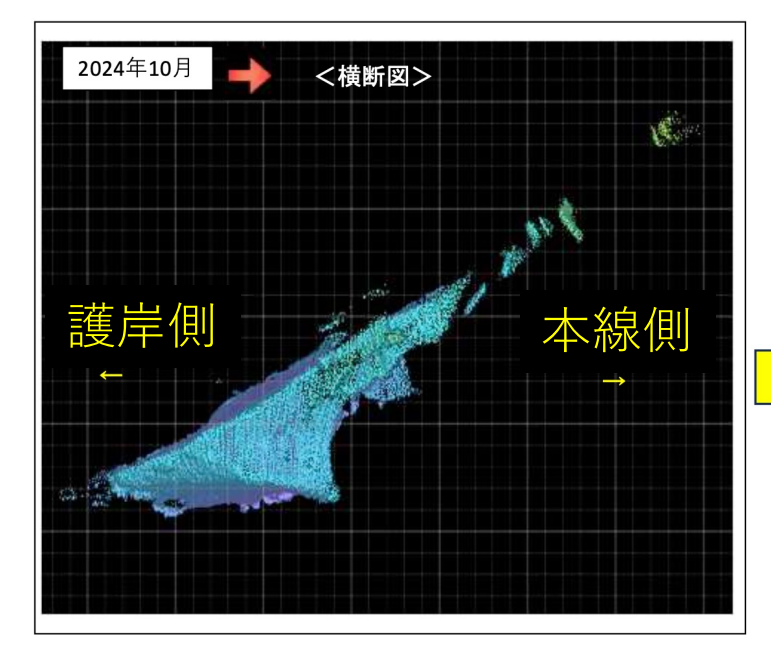


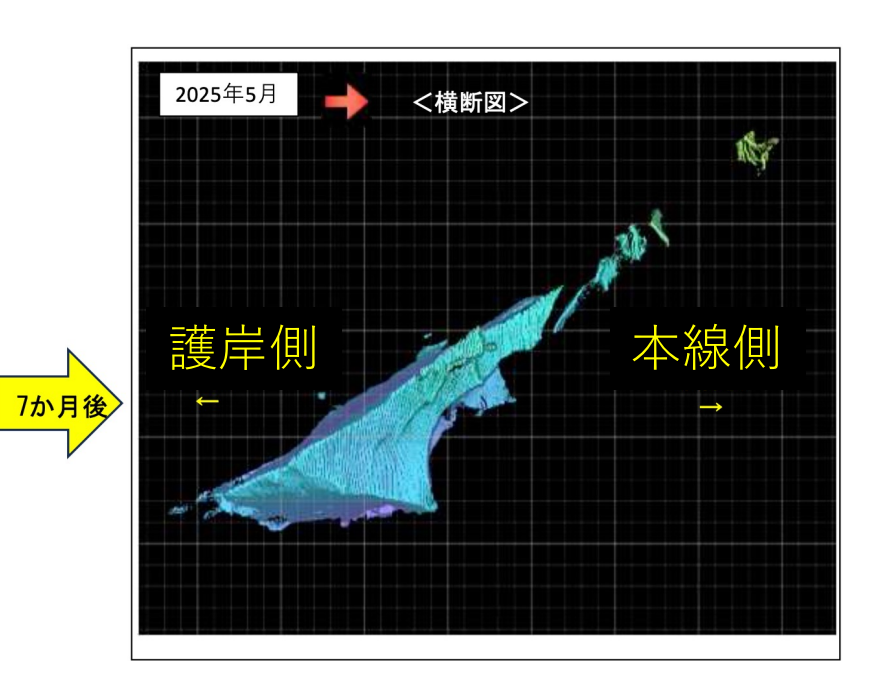
レーダー調査で異常が見つかった例③

深い位置から護岸に沿って空洞が発達. 花崗岩下に空洞が拡大

ランク判定外, 発生深度:3.26m, 空洞厚:0.50m

3~4回/年 内部観察を実施





3.26m

例②③については経過観察中

例③ <2024年2月> <2024年10月> 7カ月後 5カ月後 護岸俱 本線側 <2025年2月> <2025年5月> 発泡スチロールの 3カ月後 移動を確認 本線側

例②③については経過観察中

例③

2025年1月14日 AM1:25







・<u>ネズミが確認されたため、</u>小規模な侵入口が存在

④ まとめ

①模型実験:

護岸に沿って上方に空洞が発達,表層に達すると横断方向に拡大 盛土側水位が護岸側水位より高い場合に急速に空洞が発達

- + ・盛土の土質により陥没発生形態が異なる
 - ・擁壁の摩擦により陥没範囲が変わる

②現地調查:

比較的深い空洞を対象とした空洞探査車開発

- + ・現地調査でも模型実験におけるプロセス確認
 - ・深い位置の空洞に雨水・波浪によると思われる水の動き存在 (外力となり空洞を拡大する要因の可能性)



壊れ方が分かれば, 計り方が見えてくる

深い空洞の探査技術の実用化

← 早期発見による陥没防止の実現

